

กระบวนการหลอมข้อมูลความเที่ยมที่ต่างรายละเอียดภาพและระบบบันทึกข้อมูล

สุรัตน์ เจิรนัยวิรัตน์

วิทยานิพนธ์นี้เป็นส่วนหนึ่งของการศึกษาตามหลักสูตรปริญญาวิทยาศาสตรมหาบัณฑิต

สาขาวิชาเทคโนโลยีภูมิศาสตร์

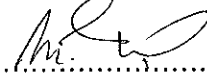
บัณฑิตวิทยาลัย มหาวิทยาลัยบูรพา

มิถุนายน 2550

ลิขสิทธิ์เป็นของมหาวิทยาลัยบูรพา

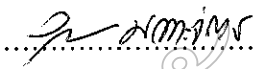
คณะกรรมการควบคุมวิทยานิพนธ์และคณะกรรมการสอบบัณฑิตวิทยานิพนธ์ ได้พิจารณา
วิทยานิพนธ์ของ สุรัตน์ เจียรนัยวิวัฒน์ ฉบับนี้แล้ว เห็นสมควรรับเป็นส่วนหนึ่งของการศึกษาตาม
หลักสูตรวิทยาศาสตร์มหาบัณฑิต สาขาวิชาเทคโนโลยีภูมิศาสตร์ ของมหาวิทยาลัยบูรพาได้

คณะกรรมการควบคุมวิทยานิพนธ์



อาจารย์ที่ปรึกษาหลัก

(รองศาสตราจารย์ ดร.แก้ว นวลฉวี)



อาจารย์ที่ปรึกษาร่วม

(รองศาสตราจารย์ ดร.วิภูมิ มัณฑะจิตร)



อาจารย์ที่ปรึกษาร่วม

(ผู้ช่วยศาสตราจารย์ ดร.วชรากรณ์ เพื่อนแก้ว)

คณะกรรมการสอบบัณฑิตวิทยานิพนธ์



ประธาน

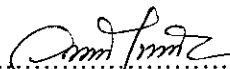
(ดร.สุรัษย์ รัตนสิริมงคล)

(รองศาสตราจารย์ ดร.แก้ว นวลฉวี)



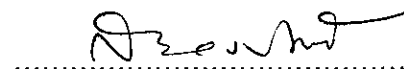
กรรมการ

(รองศาสตราจารย์ ดร.วิภูมิ มัณฑะจิตร)



กรรมการ

(ผู้ช่วยศาสตราจารย์ ดร.วชรากรณ์ เพื่อนแก้ว)



กรรมการ

(รองศาสตราจารย์สำราญ จิตต์)

บัณฑิตวิทยาลัยอนุมัติให้รับวิทยานิพนธ์ฉบับนี้เป็นส่วนหนึ่งของการศึกษาตามหลักสูตร

วิทยาศาสตร์มหาบัณฑิต สาขาวิชาเทคโนโลยีภูมิศาสตร์ ของมหาวิทยาลัยบูรพา



คณบดีบัณฑิตวิทยาลัย

(รองศาสตราจารย์ ดร.ประทุม ม่วงมี)

วันที่ 26 เดือน กันยายน พ.ศ. 2550

การวิจัยนี้ได้รับทุนพัฒนาอาจารย์สาขา Remote Sensing & GIS ระดับปริญญาโท
จากสำนักงานคณะกรรมการการอุดมศึกษา (สกอ.)

ปีการศึกษา 2546

ประกาศคุณภาพ

วิทยานิพนธ์ฉบับนี้สำเร็จลุล่วงไปได้ด้วยความกรุณาจากองค์การอุดมศึกษา คร.แก้ว นวลดีวี ประธานกรรมการที่ปรึกษาวิทยานิพนธ์ ผู้ช่วยศาสตราจารย์ ดร.วัชราภรณ์ เสื่อมแก้ว และ รองศาสตราจารย์ ดร.วิจัย มัณฑะจิต กรรมการที่ปรึกษา ซึ่งท่านได้กรุณายินดีให้คำแนะนำและ ข้อคิดเห็น อันเป็นประโยชน์ต่อการวิจัย ด้วยศีลธรรมมา ขอขอบพระคุณ ดร. สุรชัย รัตนเตรียมพงศ์ และรองศาสตราจารย์สำราญ จงจิตต์ ผู้ทรงคุณวุฒิในการสอบวิทยานิพนธ์ ที่กรุณายินดีให้คำแนะนำ ตลอดจนแก้ไขข้อบกพร่องต่าง ๆ จนวิทยานิพนธ์เสร็จสมบูรณ์

ขอขอบพระคุณคณาจารย์ภาควิชาภูมิศาสตร์ทุกท่าน ที่ได้ประสิทธิ์ประสาทความรู้ โดยเฉพาะอย่างยิ่ง รองศาสตราจารย์อัมรา ก.บัวเกยร ได้ให้คำปรึกษาและแนวความคิด ทำให้ผู้วิจัย ทราบดีถึงความสำคัญของงานทางด้านภูมิสารสนเทศ จนทำให้การศึกษางานวิจัยสำเร็จได้ด้วยดี

ขอขอบพระคุณโครงการพัฒนาอาจารย์สาขาภาคแคลน สำนักงานคณะกรรมการ การศึกษา ที่ให้การสนับสนุนทุนการศึกษาการวิจัยครั้งนี้ ขอบพระคุณ รองศาสตราจารย์ ดร. คณฑ์ เกษมวัฒน์ และ Dr.Brian Walter Szuster ผู้บริหารโครงการ Thailand Aquaculture Management Project ภายใต้ Canadian International Development Agency ประเทศแคนาดา ที่ให้ การสนับสนุนทุนฝึกอบรมทางด้านภูมิสารสนเทศ เพื่อประกอบการทำวิทยานิพนธ์ได้อย่างดียิ่ง ขอบพระคุณสำนักงานพัฒนาเทคโนโลยีอิเล็กทรอนิกส์และภูมิสารสนเทศ (องค์การมหาชน) ที่ให้ความอนุเคราะห์ข้อมูลภาพถ่ายดาวเทียม Landsat 5 TM (MS) SPOT-5 (PAN และ MS) และ Radarsat (SAR) รวมทั้งศูนย์ภูมิภาคเทคโนโลยีอิเล็กทรอนิกส์และภูมิสารสนเทศภาคตะวันออก ที่ให้ ความอนุเคราะห์ข้อมูลดาวเทียม Landsat 7 ETM+(PAN) และ IRS-1C(PAN) สำหรับการศึกษาวิจัย ในครั้งนี้โดยไม่มีค่าตอบแทน

ขอบคุณ คุณประสาร อินทเริษ นักวิทยาศาสตร์ ภาควิชาวาริชศาสตร์ คุณชุมพร เนตรนิยม และ คุณกฤตวัฒน์ รุ่งโรจน์ เจ้าหน้าที่สำนักโยธาธิการและผังเมือง จังหวัดชลบุรี คุณวีระศักดิ์ ปรีกษา เจ้าหน้าที่ศูนย์ภูมิภาคเทคโนโลยีอิเล็กทรอนิกส์และภูมิสารสนเทศภาคตะวันออก ที่ช่วยเป็นอาสาสมัครนำเข้าข้อมูลเวคเตอร์โดยการดิจิไซต์จากการแปลงภาพถ่ายดาวเทียม ด้วยสายตา และขอบคุณ คุณนฤมล อินทริวเชียร์ ที่ให้กำลังใจและช่วยเหลือด้วยคิม่าโดยตลอด ศูนย์ที่นี่ขอกราบขอบพระคุณบิดามารดาและครอบครัว ที่ให้การสนับสนุนและ ให้กำลังใจในทุก ๆ ด้านด้วยศีลธรรมมา จนทำให้การศึกษาวิจัยครั้งนี้สำเร็จได้ด้วยดี

สุรัตน์ เจียรนัยวิวัฒน์

45922541: สาขาวิชา: เทคโนโลยีภูมิศาสตร์; วท.ม. (เทคโนโลยีภูมิศาสตร์)

คำสำคัญ: การหลอมข้อมูลดาวเทียม/ การสำรวจข้อมูลระยะไกล

สุรัตน์ เจียรนัยวิวัฒน์: กระบวนการหลอมข้อมูลดาวเทียมที่ต่างรายละเอียดภาพและระบบบันทึกข้อมูล (SATELLITE IMAGE FUSION FOR MULTIREOLUTION AND MULTISENSOR) คณะกรรมการควบคุมวิทยานิพนธ์: แก้ว นวลจิรี, Ph.D., วิชากรณ์ เกื่องแก้ว, Ph.D., วิภูษิต มัณฑะจิตร, Ph.D. 175 หน้า. ปี พ.ศ. 2550.

การวิจัยครั้งนี้มีวัตถุประสงค์เพื่อศึกษาภาพผลลัพธ์ที่ได้จากการหลอมข้อมูลดาวเทียม 4 วิธี ได้แก่ วิธี Brovey Transformation, HSI (Hue: Saturation: Intensity) Color Transformation, PCA (Principal Component Analysis) และวิธี HPF (High Pass Filter) โดยทำการศึกษาวิจัยใน 3 ผืนที่ได้แก่ บริเวณพื้นที่นาถุ่งและเพาะเลี้ยงสัตว์น้ำติดแม่น้ำบางปะกง, บริเวณอ่าวจังหวัดชลบุรี และบริเวณอ่างเก็บน้ำบางพระ ข้อมูลที่ใช้ในการศึกษาประกอบด้วย ข้อมูลดาวเทียม Landsat-5 TM แบบด้วย 7 ทำการหลอมกับข้อมูลดาวเทียมที่มีรายละเอียดข้อมูลสูงกว่า คือ ข้อมูลดาวเทียม Landsat-7 ETM+ ระบบ Panchromatic รายละเอียดข้อมูล 15 เมตร, ข้อมูลดาวเทียม IRS-1C ระบบ Panchromatic รายละเอียดข้อมูล 5 เมตร, ข้อมูลดาวเทียม Radarsat (SAR) รายละเอียดข้อมูล 8 เมตร และข้อมูลดาวเทียม SPOT-5 ระบบ Panchromatic รายละเอียดข้อมูล 2.5 เมตร

ผลของการศึกษาพื้นที่บริเวณแม่น้ำบางปะกง พบว่าภาพดาวเทียมที่ได้จากการหลอมข้อมูลดาวเทียม Landsat-5 TM (แบบด้วย 1 ถึง 7) กับข้อมูลดาวเทียม SPOT-5 (PAN) ด้วยวิธีการ PCA (Principal Component Analysis) ให้ผลลัพธ์ดีที่สุด สามารถจำแนกประเภทของนาถุ่งและพื้นที่เพาะเลี้ยงสัตว์น้ำได้ดี สามารถเห็นขอบเขตของแปลงได้อย่างชัดเจน ปริมาณน้ำถุ่งและพื้นที่เพาะเลี้ยงสัตว์น้ำที่ได้จากการนำเข้าข้อมูลบนหน้าจอเพิ่มขึ้น 28.65 เปอร์เซ็นต์

พื้นที่บริเวณอ่าวจังหวัดชลบุรี พบว่าภาพดาวเทียมที่ได้จากการหลอมข้อมูลดาวเทียม Landsat-5 TM (RGB: 453) กับข้อมูลดาวเทียม Radarsat (SAR) ด้วยวิธีการ Brovey Transformation ให้ผลลัพธ์ดีที่สุด สามารถจำแนกเครื่องมือประมงประจำที่จากข้อมูลอื่น ๆ ได้ดี ผลลัพธ์ที่ได้ใกล้เคียงกับข้อมูลรายละเอียดสูงตั้งต้น โดยคลอง 11.32 เปอร์เซ็นต์

พื้นที่บริเวณอ่างเก็บน้ำบางพระ พบว่าภาพดาวเทียมที่ได้จากการหลอมข้อมูลดาวเทียม Landsat-5 TM (แบบด้วย 1 ถึง 7) กับข้อมูลดาวเทียม SPOT-5 (PAN) ด้วยวิธีการ PCA (Principal Component Analysis) ให้ผลลัพธ์ดีที่สุด สามารถจำแนกข้อมูลเส้นทางคมนาคม ได้ดี ปริมาณข้อมูลเส้นทางคมนาคมที่ได้จากการนำเข้าข้อมูลบนหน้าจอเพิ่มขึ้น 55.68 เปอร์เซ็นต์

45922541: MAJOR: GEOGRAPHICAL TECHNOLOGY; M.Sc. (GEOGRAPHICAL TECHNOLOGY)

KEYWORDS: SATELLITE IMAGE FUSION/ REMOTE SENSING

SURAT JIARANAIWIWAT: SATELLITE IMAGE FUSION FOR MULTIREOLUTION AND MULTISENSOR. ADVISORY COMMITTEE: KAEW NUALCHAWEE, Ph.D., WATCHARAPORN KEANKEO, Ph.D., VIPOOSIT MANTHAJITRA, Ph.D. 175 P. 2007.

The objective of this research was to study the fused satellite data. Four different fusion techniques namely: Brovey Transformation, HSI (Hue: Saturation:Intensity) Color Transformation, PCA (Principal Component Analysis) and HPF (High Pass Filter), were used in the study. Three study areas were selected: shrimp farm and aquaculture area near Bangpakong River, Gulf of Chonburi Province, and Bang Pra Reservoir to test the visual interpretation of the fused images. Landsat 5 Thematic Mapper (TM) seven spectral bands were fused with ETM+ Panchromatic band with 15 m resolution, IRS-1C Panchromatic band with 5 m resolution, Radarsat (SAR) with 8 m resolution and SPOT-5 Panchromatic band with 2.5 m resolution to produce fused image with higher spatial resolution than those of the original bands.

The results of the visual interpretation of Bangpakong River for dataset of Landsat 5 TM band 1 to 7 and SPOT-5 (PAN) images indicate that the PCA method worked the best. The fused image was able to distinguish boundaries of shrimp farm and aquaculture area very well. It was found that the amount of digitized shrimp farm and aquaculture area on fused image increased by 28.65 percent.

For the Gulf of Chonburi Province, the fused dataset of Landsat 5 TM (RGB: 453) and Radarsat (SAR) images using the Brovey Transformation method worked the best. It was found that the stationary fishing gear on fused image decreased by 11.32 percent.

In area of Bang Pra Reservoir, the fused dataset of Landsat 5 TM band 1 to 7 and SPOT-5 (PAN) images indicate that the PCA method worked the best. The fused image distinguished the boundary of roads from the surroundings. It was found that the length of digitized roads on fused image increased by 55.68 percent.

สารบัญ

	หน้า
บทคัดย่อภาษาไทย.....	๑
บทคัดย่อภาษาอังกฤษ.....	๒
สารบัญ.....	๓
สารบัญตาราง.....	๔
สารบัญภาพ	๕
บทที่	
1 บทนำ.....	1
ความเป็นมาและความสำคัญของปัญหา	1
วัตถุประสงค์ของการวิจัย	3
สมมติฐานของการวิจัย	3
ประโยชน์ที่คาดว่าจะได้รับจากการวิจัย.....	4
ขอบเขตของการวิจัย	4
ข้อจำกัดของการวิจัย.....	10
นิยามศัพท์เฉพาะ	10
2 เอกสารและงานวิจัยที่เกี่ยวข้อง.....	12
แนวคิดทฤษฎีที่เกี่ยวข้อง	12
คุณลักษณะของข้อมูลความเที่ยมที่ใช้ศึกษา.....	13
เทคนิคการปรับแก้ความถูกต้องเชิงเรขาคณิต.....	17
เทคนิคการปรับปรุงขนาดจุดภาพข้อมูลความเที่ยม	20
เทคนิคการเน้นข้อมูลความเที่ยม	22
เทคนิคการลดลงข้อมูลภาพ	25
การประยุกต์ใช้เทคนิคการลดลงข้อมูล	34
3 วิธีดำเนินการวิจัย.....	36
การเตรียมข้อมูล.....	36
เครื่องมือและอุปกรณ์	38
การนำเข้าข้อมูล	39
การปรับแก้ความถูกต้องเชิงเรขาคณิต	39

สารบัญ (ต่อ)

บทที่	หน้า
การปรับปรุงขนาดขุ่นภาพของข้อมูลความเที่ยม	40
การตัดข้อมูลความเที่ยมเฉพาะพื้นที่ศึกษา	41
การเน้นข้อมูลความเที่ยม	41
การหลอมข้อมูลความเที่ยม	42
รายละเอียดของเทคนิคและวิธีการที่ใช้ในการหลอมข้อมูล	43
การประเมินผลลัพธ์เชิงคุณลักษณะของภาพที่ได้จากการหลอมข้อมูล	45
การประเมินผลลัพธ์ทางเรขาคณิตของภาพที่ได้จากการหลอมข้อมูล	45
สรุปกรอบแนวคิดกระบวนการดำเนินงานการหลอมข้อมูล	45
4 ผลการวิจัย	48
เทคนิคกระบวนการหลอมข้อมูลความเที่ยม	48
การประเมินคุณลักษณะเชิงคุณลักษณะเชิงพื้นที่	58
การเปรียบเทียบเชิงคุณลักษณะของภาพที่ได้จากการหลอมข้อมูล	117
การเปรียบเทียบคุณสมบัติทางเรขาคณิต ของภาพที่ได้จากการหลอมข้อมูล	122
5 สรุปและอภิปรายผล	129
สรุปผล	129
อภิปรายผล	131
ข้อเสนอแนะ	132
บรรณานุกรม	134
ภาคผนวก	138
ภาคผนวก ก	139
ภาคผนวก ข	150
ภาคผนวก ค	154
ภาคผนวก ง	170
ประวัติย่อของผู้วิจัย	175

สารบัญตาราง

ตารางที่	หน้า
2-1 แสดงการสูญเสียข้อมูลจากการประมาณค่าด้วยวิธีการต่าง ๆ	22
3-1 แสดงประเภทข้อมูลดาวเทียมที่ใช้ในการศึกษา.....	36
3-2 แสดงรายละเอียดข้อมูลดาวเทียม Landsat-7 ETM+.....	37
3-3 แสดงรายละเอียดข้อมูลดาวเทียม SPOT-5.....	37
3-4 แสดงรายละเอียดข้อมูลดาวเทียม IRS-1C	37
3-5 แสดงรายละเอียดข้อมูลดาวเทียม Radarsat.....	38
3-6 แสดงรายละเอียดเชิงพื้นที่ของข้อมูลภาพดาวเทียมก่อน-หลังการปรับแก้ความถูกต้อง เทิงเรขาคณิต.....	40
4-1 แสดงผลการปรับแก้โดยวิธีการแบบภาพถึงภาพ.....	49
4-2 แสดงการเปรียบเทียบคุณสมบัติทางเรขาคณิตและคุณสมบัติเชิงคลื่น ของภาพผลลัพธ์ที่ได้จากการหลอมข้อมูลดาวเทียม Landsat-5 (RGB: 453) กับข้อมูลดาวเทียม Landsat-7 ระบบ Panchromatic ในพื้นที่ศึกษาที่ 1 บริเวณแม่น้ำบางปะกง	126
4-3 แสดงการเปรียบเทียบคุณสมบัติทางเรขาคณิตและคุณสมบัติเชิงคลื่น ของภาพผลลัพธ์ ที่ได้จากการหลอมข้อมูลดาวเทียม Landsat-5 (RGB: 453) กับข้อมูลดาวเทียม IRS-1C ระบบ Panchromatic ในพื้นที่ศึกษาที่ 1 บริเวณแม่น้ำบางปะกง.....	126
4-4 แสดงการเปรียบเทียบคุณสมบัติทางเรขาคณิตและคุณสมบัติเชิงคลื่น ของภาพผลลัพธ์ ที่ได้จากการหลอมข้อมูลดาวเทียม Landsat-5 (RGB: 453) กับข้อมูลดาวเทียม Radarsat ระบบ SAR ในพื้นที่ศึกษาที่ 1 บริเวณแม่น้ำบางปะกง.....	127
4-5 แสดงการเปรียบเทียบคุณสมบัติทางเรขาคณิตและคุณสมบัติเชิงคลื่น ของภาพผลลัพธ์ ที่ได้จากการหลอมข้อมูลดาวเทียม Landsat-5 (RGB: 453) กับข้อมูลดาวเทียม SPOT-5 ระบบ Panchromatic ในพื้นที่ศึกษาที่ 1 บริเวณแม่น้ำบางปะกง.....	127
4-6 แสดงการเปรียบเทียบคุณสมบัติทางเรขาคณิตและคุณสมบัติเชิงคลื่น ของภาพผลลัพธ์ ที่ได้จากการหลอมข้อมูลดาวเทียม Landsat-5 (RGB: 453) กับข้อมูลดาวเทียม Radarsat ระบบ SAR ในพื้นที่ศึกษาที่ 2 บริเวณอ่าวจังหวัดชลบุรี	127

สารบัญตาราง (ต่อ)

ตารางที่	หน้า
4-7 แสดงการเปรียบเทียบคุณสมบัติทางเรขาคณิตและคุณสมบัติเชิงคลื่น ของภาพผลลัพธ์ที่ได้จากการหลอมข้อมูลดาวเทียม Landsat-5 (RGB: 453) กับข้อมูลดาวเทียม SPOT-5 ระบบ Panchromatic ในพื้นที่ศึกษาที่ 2 บริเวณอ่าวจังหวัดชลบุรี	128
4-8 แสดงการเปรียบเทียบคุณสมบัติทางเรขาคณิตและคุณสมบัติเชิงคลื่น ของภาพผลลัพธ์ที่ได้จากการหลอมข้อมูลดาวเทียม Landsat-5 (RGB: 453) กับข้อมูลดาวเทียม Landsat-7 ระบบ Panchromatic ในพื้นที่ศึกษาที่ 3 บริเวณอ่างเก็บน้ำบางพระ	128
4-9 แสดงการเปรียบเทียบคุณสมบัติทางเรขาคณิตและคุณสมบัติเชิงคลื่น ของภาพผลลัพธ์ที่ได้จากการหลอมข้อมูลดาวเทียม Landsat-5 (RGB: 453) กับข้อมูลดาวเทียม IRS-1C ระบบ Panchromatic ในพื้นที่ศึกษาที่ 3 บริเวณอ่างเก็บน้ำบางพระ	128
4-10 แสดงการเปรียบเทียบคุณสมบัติทางเรขาคณิตและคุณสมบัติเชิงคลื่น ของภาพผลลัพธ์ที่ได้จากการหลอมข้อมูลดาวเทียม Landsat-5 (RGB: 453) กับข้อมูลดาวเทียม SPOT-5 ระบบ Panchromatic ในพื้นที่ศึกษาที่ 3 บริเวณอ่างเก็บน้ำบางพระ	128
ภาคผนวก ก-1 แสดงผลลัพธ์ที่ได้จากการนำเข้าข้อมูลนาฬิกาและพื้นที่เพาะปลูก สัดสวนน้ำบนหน้าจอ ในพื้นที่ศึกษาที่ 1 บริเวณแม่น้ำบางปะกง	140
ภาคผนวก ก-2 แสดงผลลัพธ์ที่ได้จากการนำเข้าข้อมูลเครื่องมือปะรังประจำที่ไปรษณีย์บนหน้าจอ ในพื้นที่ศึกษาที่ 2 บริเวณอ่าวจังหวัดชลบุรี	141
ภาคผนวก ก-3 แสดงผลลัพธ์ที่ได้จากการนำเข้าข้อมูลเส้นทางคมนาคมบนหน้าจอ ในพื้นที่ศึกษาที่ 3 บริเวณอ่างเก็บน้ำบางพระ	142
ภาคผนวก ค-1 ความยาวช่วงคลื่นแม่เหล็กไฟฟ้าต่าง ๆ	155
ภาคผนวก ค-2 ศักยภาพของดาวเทียมสำรวจทรัพยากร Landsat-5 ระบบ MSS รายละเอียด 80 เมตร	158
ภาคผนวก ค-3 ศักยภาพของดาวเทียมสำรวจทรัพยากร Landsat-5 ระบบ TM รายละเอียด 30 เมตร	159
ภาคผนวก ค-4 ศักยภาพของดาวเทียมสำรวจทรัพยากร Landsat-7 ระบบ ETM+ รายละเอียด 30 เมตร	161
ภาคผนวก ค-5 ศักยภาพของดาวเทียมสำรวจทรัพยากร Landsat-7 ETM+ ระบบข้อมูลช่วงคลื่นเดียว (Panchromatic) รายละเอียด 15 เมตร	162

สารบัญตาราง (ต่อ)

ตารางที่	หน้า
ภาคผนวก ค-6 รายละเอียดระบบบันทึกข้อมูลของดาวเทียมสำรวจทรัพยากร IRS-1C	164
ภาคผนวก ค-7 ศักยภาพของดาวเทียมสำรวจทรัพยากร IRS-1C ระบบ Panchromatic รายละเอียด 5.8 เมตร	164
ภาคผนวก ค-8 รายละเอียดระบบบันทึกข้อมูลของดาวเทียมสำรวจทรัพยากร Radarsat.....	166
ภาคผนวก ค-9 ศักยภาพของดาวเทียมสำรวจทรัพยากร Radarsat ระบบ SAR รายละเอียด 8 เมตร	167
ภาคผนวก ค-10 ศักยภาพของดาวเทียมสำรวจทรัพยากร SPOT-5 ระบบ Panchromatic รายละเอียด 2.5 เมตร	169

สารบัญภาพ

ภาพที่	หน้า
1-1 แสดงที่ตั้งพื้นที่ศึกษา.....	6
1-2 แสดงพื้นที่ศึกษาที่ 1 บริเวณแม่น้ำบางปะกง อำเภอบางปะกงและอำเภอป่าสัก จังหวัดชัยภูมิ.....	7
1-3 แสดงพื้นที่ศึกษาที่ 2 บริเวณอ่าวชลบุรี อำเภอเมือง จังหวัดชลบุรี	7
1-4 แสดงพื้นที่ศึกษาที่ 3 บริเวณอ่างเก็บน้ำบางพระ อำเภอเมืองและอำเภอศรีราชา จังหวัดชลบุรี	8
2-1 การเคลื่อนที่ของความเที่ยม	18
2-2 Matrix ของข้อมูลที่แก้ไขเชิงเรขาคณิตแล้วซ้อนกับ Matrix ของภาพที่ยังไม่ได้แก้ไข เชิงเรขาคณิต	18
2-3 การปรับค่าความเข้มแบบต่าง ๆ	21
2-4 รูปแบบต่าง ๆ ของ Histogram.....	23
2-5 แสดงการเปลี่ยนแปลงค่าระดับสีเทาแบบ Linear Contrast Stretch	24
2-6 แสดงการเปลี่ยนแปลงค่าระดับสีเทาแบบ Piecewise Stretch	25
2-7 แสดงการเปลี่ยนระดับสีเทาแบบ Histogram Equalization	25
2-8 แสดงหลักการผสมสี RGB	26
2-9 แผนผังกรอบแนวคิดของวิธีการในระบบสี HSI.....	27
2-10 แบบจำลองระบบสีแบบ RGB และ HSI	28
2-11 แบบจำลองระบบสีแบบ HSI	28
2-12 แผนผังกรอบแนวคิดของวิธีการวิเคราะห์องค์ประกอบหลัก PCA	29
2-13 การลงชุดแบบกระจายระหว่าง 2 แผนดิ์	30
2-14 องค์ประกอบหลักที่ 1	30
2-15 องค์ประกอบหลักที่ 2	31
2-16 แสดงการแปลงค่าระดับสีเทาแบบ Low Pass Filter และ High Pass Filter.....	32
3-1 แสดงขั้นตอนการวิเคราะห์ข้อมูลความที่เที่ยม	46
3-2 แผนผังแสดงกระบวนการดำเนินงาน.....	47
4-1 แสดงวิธีการวางแผนจุดควบคุมภาพพื้นดินให้กับข้อมูลความที่เที่ยมที่ใช้ในการศึกษา	50

สารบัญภาพ (ต่อ)

ภาพที่	หน้า
4-2 แสดงลักษณะของสีสโตแกรมและค่าการสะท้อนของข้อมูลภาพดาวเทียม Landsat-5 แบบด้วยแม่สีแดง.....	51
4-3 แสดงสีสโตแกรมของข้อมูลภาพดาวเทียมก่อนการปรับแก้.....	52
4-4 แสดงสีสโตแกรมของข้อมูลภาพดาวเทียมหลังการปรับแก้	52
4-5 ภาพที่ก่อนการปรับปรุงค่าระดับสีเทา (ก.) และภาพที่ได้ภายหลังจากการปรับปรุง ค่าระดับสีเทา (ข.)	53
4-6 ภาพดาวเทียม Radarsat (SAR) ก่อนการกรองข้อมูล.....	54
4-7 ภาพดาวเทียม Radarsat (SAR) หลังการกรองโดยใช้วิธีการแบบ Gaussian Filter ข้อมูลขนาด 3×3	55
4-8 ภาพดาวเทียม Radarsat (SAR) หลังการกรองข้อมูลด้วยวิธีการ Sobel Edge Filter ขนาด 5×5	55
4-9 ภาพสีผสมดาวเทียม Landsat-5 (TM) แบบด้วย 4-5-3 รายละเอียด เชิงพื้นที่ 25 เมตร	60
4-10 ภาพดาวเทียม Landsat-7 (ETM+) Panchromatic รายละเอียด เชิงพื้นที่ 15 เมตร	60
4-11 แสดงปริมาณนาครุ่งที่ได้จากการแปลสภาพ และนำเข้าข้อมูลบนหน้าจอของข้อมูล ตั้งตนที่ใช้ในการหลอมข้อมูล	61
4-12 การหลอมข้อมูลดาวเทียม Landsat-7 (ETM+) Panchromatic และดาวเทียม Landsat-5 (TM) แบบด้วย Brovey Transformation รายละเอียดเชิงพื้นที่ 15 เมตร	62
4-13 ภาพดาวเทียม Radarsat (SAR) รายละเอียด เชิงพื้นที่ 8 เมตร	64
4-14 การหลอมข้อมูลดาวเทียม Radarsat (SAR) และดาวเทียม Landsat-5 (TM) แบบด้วย 4-5-3 โดยใช้วิธี Brovey Transformation รายละเอียดเชิงพื้นที่ 8 เมตร	64
4-15 ภาพดาวเทียม IRS-1C Panchromatic รายละเอียด เชิงพื้นที่ 5 เมตร	65
4-16 การหลอมข้อมูลดาวเทียม IRS-1C Panchromatic และดาวเทียม Landsat-5 (TM) แบบด้วย 4-5-3 โดยใช้วิธี Brovey Transformation รายละเอียดเชิงพื้นที่ 5 เมตร	65
4-17 ภาพดาวเทียม SPOT-5 Panchromatic รายละเอียด เชิงพื้นที่ 2.5 เมตร	66
4-18 การหลอมข้อมูลดาวเทียม SPOT-5 Panchromatic และดาวเทียม Landsat-5 (TM) แบบด้วย 4-5-3 โดยใช้วิธี Brovey Transformation รายละเอียดเชิงพื้นที่ 2.5 เมตร	66

สารบัญภาค (ต่อ)

ภาคที่		หน้า
4-19	แสดงปริมาณนากรุงและพื้นที่เพาะเลี้ยงสัตว์น้ำ ที่ได้จากการนำเข้าข้อมูลบนหน้าจอของข้อมูลที่ได้จากการหลอมข้อมูลรายละเอียดสูงกับข้อมูล Landsat-5 (TM) ด้วยวิธีการ Brovey Transformation.....	67
4-20	การหลอมข้อมูลดาวเทียม Landsat-7 (ETM+) Panchromatic และดาวเทียม Landsat-5 (TM) แบบค์ 4-5-3 โดยใช้วิธี HSI Color Transformation รายละเอียดเชิงพื้นที่ 15 เมตร	69
4-21	การหลอมข้อมูลดาวเทียม Radarsat (SAR) และดาวเทียม Landsat-5 (TM) แบบค์ 4-5-3 โดยใช้วิธี HSI Color Transformation รายละเอียดเชิงพื้นที่ 8 เมตร	70
4-22	การหลอมข้อมูลดาวเทียม IRS-1C Panchromatic และดาวเทียม Landsat-5 (TM) แบบค์ 4-5-3 โดยใช้วิธี HSI Color Transformation รายละเอียดเชิงพื้นที่ 5 เมตร	70
4-23	การหลอมข้อมูลดาวเทียม SPOT-5 Panchromatic และดาวเทียม Landsat-5 (TM) แบบค์ 4-5-3 โดยใช้วิธี HSI Color Transformation รายละเอียดเชิงพื้นที่ 2.5 เมตร	71
4-24	แสดงปริมาณนากรุงและพื้นที่เพาะเลี้ยงสัตว์น้ำ ที่ได้จากการนำเข้าข้อมูลบนหน้าจอของข้อมูลที่ได้จากการหลอมข้อมูลรายละเอียดสูงกับข้อมูล Landsat-5 (TM) ด้วยวิธีการ HSI Color Transformation โดยใช้โมเดล Hexcone.....	72
4-25	การหลอมข้อมูลดาวเทียม Landsat-7 (ETM+) Panchromatic และดาวเทียม Landsat-5 (TM) แบบค์ 4-5-3 โดยใช้วิธี PCA (Principal Component Analysis) รายละเอียดเชิงพื้นที่ 15 เมตร	74
4-26	การหลอมข้อมูลดาวเทียม Radarsat (SAR) และดาวเทียม Landsat-5 แบบค์ 4-5-3 โดยใช้วิธี PCA (Principal Component Analysis) รายละเอียดเชิงพื้นที่ 8 เมตร	75
4-27	การหลอมข้อมูลดาวเทียม IRS-1C Panchromatic และดาวเทียม Landsat-5 แบบค์ 4-5-3 โดยใช้วิธี PCA (Principal Component Analysis) รายละเอียดเชิงพื้นที่ 5 เมตร	75
4-28	การหลอมข้อมูลดาวเทียม SPOT-5 Panchromatic และดาวเทียม Landsat-5 แบบค์ 4-5-3 โดยใช้วิธี PCA (Principal Component Analysis) รายละเอียดเชิงพื้นที่ 2.5 เมตร	76

สารบัญภาพ (ต่อ)

ภาพที่	หน้า
4-29 แสดงปริมาณนากรุงและพื้นที่เพาะปลูกสัตว์น้ำ ที่ได้จากการนำเข้าข้อมูลบนหน้าจอของข้อมูลที่ได้จากการหลอมข้อมูล รายละเอียดสูงกับข้อมูล Landsat-5 (TM) ด้วยวิธีการ PCA (Principal Component Analysis)	77
4-30 การหลอมข้อมูลดาวเทียม Landsat-7 Panchromatic และดาวเทียม Landsat-5 แบบที่ 4-5-3 โดยใช้วิธี HPF (High Pass Filter) รายละเอียดเชิงพื้นที่ 15 เมตร	79
4-31 การหลอมข้อมูลดาวเทียม Radarsat (SAR) และดาวเทียม Landsat-5 แบบที่ 4-5-3 โดยใช้วิธี HPF (High Pass Filter) รายละเอียดเชิงพื้นที่ 8 เมตร	80
4-32 การหลอมข้อมูลดาวเทียม IRS-1C Panchromatic และดาวเทียม Landsat-5 แบบที่ 4-5-3 โดยใช้วิธี HPF (High Pass Filter) รายละเอียดเชิงพื้นที่ 5 เมตร	80
4-33 การหลอมข้อมูลดาวเทียม SPOT-5 Panchromatic และดาวเทียม Landsat-5 แบบที่ 4-5-3 โดยใช้วิธี HPF (High Pass Filter) รายละเอียดเชิงพื้นที่ 2.5 เมตร	81
4-34 แสดงปริมาณนากรุงและพื้นที่เพาะปลูกสัตว์น้ำ ที่ได้จากการนำเข้าข้อมูลบนหน้าจอของข้อมูลที่ได้จากการหลอมข้อมูล รายละเอียดสูงกับข้อมูล Landsat-5 (TM) ด้วยวิธีการ HPF (High Pass Filter)	82
4-35 แสดงปริมาณป่า ที่ได้จากการนำเข้าข้อมูลบนหน้าจอ ของข้อมูลตั้งต้นที่ใช้ในการหลอมข้อมูล ก. SPOT-5 Panchromatic ข. Radarsat (SAR)	84
4-36 คำอธิบายสัญลักษณ์ของภาพ สำหรับพื้นที่ศึกษาที่ 2 บริเวณอ่าวชลบุรี	85
4-37 ภาพสีสมดาวเทียม Landsat-5 แบบที่ 4-5-3 รายละเอียด เชิงพื้นที่ 25 เมตร	86
4-38 ภาพดาวเทียม SPOT-5 Panchromatic รายละเอียด เชิงพื้นที่ 2.5 เมตร	86
4-39 การหลอมข้อมูลดาวเทียม SPOT-5 Panchromatic และดาวเทียม Landsat-5 แบบที่ 4-5-3 โดยใช้วิธี Brovey Transformation รายละเอียดเชิงพื้นที่ 2.5 เมตร	87
4-40 ภาพดาวเทียม Radarsat (SAR) รายละเอียด เชิงพื้นที่ 8 เมตร	88
4-41 การหลอมข้อมูลดาวเทียม Radarsat (SAR) และดาวเทียม Landsat-5 แบบที่ 4-5-3 โดยใช้วิธี Brovey Transformation รายละเอียดเชิงพื้นที่ 8 เมตร	88
4-42 การหลอมข้อมูลดาวเทียม SPOT-5 Panchromatic และดาวเทียม Landsat-5 แบบที่ 4-5-3 โดยใช้วิธี HSI Color Transformation รายละเอียดเชิงพื้นที่ 2.5 เมตร	90

สารบัญภาพ (ต่อ)

ภาพที่		หน้า
4-43	การหลอมข้อมูลดาวเทียม Radarsat (SAR) และดาวเทียม Landsat-5 แบบค์ 4-5-3 โดยใช้วิธี HSI Color Transformation รายละเอียดเชิงพื้นที่ 8 เมตร	90
4-44	การหลอมข้อมูลดาวเทียม SPOT-5 Panchromatic และดาวเทียม Landsat-5 แบบค์ 4-5-3 โดยใช้วิธี PCA (Principal Component Analysis) รายละเอียดเชิงพื้นที่ 2.5 เมตร	92
4-45	การหลอมข้อมูลดาวเทียม Radarsat(SAR) และดาวเทียม Landsat-5 แบบค์ 4-5-3 โดยใช้วิธี PCA (Principal Component Analysis) รายละเอียดเชิงพื้นที่ 8 เมตร	92
4-46	การหลอมข้อมูลดาวเทียม SPOT-5 Panchromatic และดาวเทียม Landsat-5 แบบค์ 4-5-3 โดยใช้วิธี HPF (High Pass Filter) รายละเอียดเชิงพื้นที่ 2.5 เมตร	94
4-47	การหลอมข้อมูลดาวเทียม Radarsat (SAR) และดาวเทียม Landsat-5 แบบค์ 4-5-3 โดยใช้วิธี HPF (High Pass Filter) รายละเอียดเชิงพื้นที่ 8 เมตร	94
4-48	แสดงปริมาณ โป๊ะ ที่ได้จากการนำเข้าข้อมูลบนหน้าจอของข้อมูลที่ได้จากการ หลอมข้อมูล SPOT-5 ระบบ Panchromatic กับข้อมูล Landsat-5 (TM) ด้วยวิธีการต่าง ๆ	95
4-49	แสดงปริมาณ โป๊ะ ที่ได้จากการนำเข้าข้อมูลบนหน้าจอ ของข้อมูลที่ได้จากการ หลอมข้อมูล Radarsat ระบบ SAR กับข้อมูล Landsat-5 (TM) ด้วยวิธีการต่าง ๆ	96
4-50	คำอธิบายสัญลักษณ์ของภาพ สำหรับพื้นที่ศึกษาที่ 3 บริเวณอ่างเก็บน้ำบางพระ	98
4-51	ภาพสีสมดาวเทียม Landsat-5 แบบค์ 4-5-3 รายละเอียด เชิงพื้นที่ 25 เมตร	99
4-52	ภาพดาวเทียม Landsat-7 Panchromatic รายละเอียด เชิงพื้นที่ 15 เมตร	101
4-53	การหลอมข้อมูลดาวเทียม Landsat-7 Panchromatic และดาวเทียม Landsat-5 แบบค์ 4-5-3 โดยใช้วิธี Brovey Transformation รายละเอียดเชิงพื้นที่ 15 เมตร	101
4-54	ภาพดาวเทียม IRS-1C Panchromatic รายละเอียด เชิงพื้นที่ 5 เมตร	102
4-55	การหลอมข้อมูลดาวเทียม IRS-1C Panchromatic และดาวเทียม Landsat-5 แบบค์ 4-5-3 โดยใช้วิธี Brovey Transformation รายละเอียดเชิงพื้นที่ 5 เมตร	102
4-56	ภาพดาวเทียม SPOT-5 Panchromatic รายละเอียด เชิงพื้นที่ 2.5 เมตร	103
4-57	การหลอมข้อมูลดาวเทียม SPOT-5 Panchromatic และดาวเทียม Landsat-5 แบบค์ 4-5-3 โดยใช้วิธี Brovey Transformation รายละเอียดเชิงพื้นที่ 2.5 เมตร	103

สารบัญภาพ (ต่อ)

ภาพที่	หน้า
4-58 การหลอมข้อมูลดาวเทียม Landsat-7 Panchromatic และดาวเทียม Landsat-5 แบบด้วยใช้วิธี HSI Color Transformation รายละเอียดเชิงพื้นที่ 15 เมตร.....	105
4-59 การหลอมข้อมูลดาวเทียม IRS-1C Panchromatic และดาวเทียม Landsat-5 แบบด้วยใช้วิธี HSI Color Transformation รายละเอียดเชิงพื้นที่ 15 เมตร.....	106
4-60 การหลอมข้อมูลดาวเทียม SPOT-5 และดาวเทียม Landsat-5 แบบด้วยใช้วิธี HSI Color Transformation รายละเอียดเชิงพื้นที่ 2.5 เมตร	106
4-61 การหลอมข้อมูลดาวเทียม Landsat-7 Panchromatic และดาวเทียม Landsat-5 แบบด้วยใช้วิธี PCA (Principal Component Analysis) รายละเอียดเชิงพื้นที่ 15 เมตร	108
4-62 การหลอมข้อมูลดาวเทียม IRS-1C Panchromatic และดาวเทียม Landsat-5 แบบด้วยใช้วิธี PCA (Principal Component Analysis) รายละเอียดเชิงพื้นที่ 5 เมตร.....	109
4-63 การหลอมข้อมูลดาวเทียม SPOT-5 Panchromatic และดาวเทียม Landsat-5 แบบด้วยใช้วิธี PCA (Principal Component Analysis) รายละเอียดเชิงพื้นที่ 2.5 เมตร	109
4-64 การหลอมข้อมูลดาวเทียม Landsat-7 Panchromatic และดาวเทียม Landsat-5 แบบด้วยใช้วิธี HPF (High Pass Filter) รายละเอียดเชิงพื้นที่ 15 เมตร	111
4-65 การหลอมข้อมูลดาวเทียม IRS-1C Panchromatic และดาวเทียม Landsat-5 แบบด้วยใช้วิธี HPF (High Pass Filter) รายละเอียดเชิงพื้นที่ 5 เมตร	112
4-66 การหลอมข้อมูลดาวเทียม SPOT-5 Panchromatic และดาวเทียม Landsat-5 แบบด้วยใช้วิธี HPF (High Pass Filter) รายละเอียดเชิงพื้นที่ 2.5 เมตร	112
4-67 แสดงปริมาณเส้นทางคณากม ที่ได้จากการนำเข้าข้อมูลบนหน้าจอของข้อมูล ตั้งต้นที่ใช้ในการหลอมข้อมูล	113
4-68 แสดงปริมาณเส้นทางคณากม ที่ได้จากการนำเข้าข้อมูลบนหน้าจอ ของข้อมูลที่ได้ จากการหลอมข้อมูล Landsat-7 ระบบ Panchromatic กับข้อมูล Landsat-5 (TM) ด้วยวิธีการต่าง ๆ	114

สารบัญภาค (ต่อ)

ภาคที่	หน้า
4-69 แสดงปริมาณเส้นทางคอมนาคม ที่ได้จากการนำเข้าข้อมูลบนหน้าจอ ของข้อมูลที่ได้จากการหลอมข้อมูล IRS-1C ระบบ Panchromatic กับข้อมูล Landsat-5 (TM) ด้วยวิธีการต่าง ๆ	115
4-70 แสดงปริมาณเส้นทางคอมนาคม ที่ได้จากการนำเข้าข้อมูลบนหน้าจอ ของข้อมูล ที่ได้จากการหลอมข้อมูล SPOT-5 ระบบ Panchromatic กับข้อมูล Landsat-5 (TM) ด้วยวิธีการต่าง ๆ	116
ภาคผนวก ก-1 แสดงจำนวนและพื้นที่ ของนาถุ่งและพื้นที่เพาะเลี้ยงสัตว์น้ำทั้งหมด ที่ได้จากการหลอมภาพด้วยวิธีการต่าง ๆ ในพื้นที่ศึกษาที่ 1 บริเวณแม่น้ำบางปะกง.....	143
ภาคผนวก ก-2 แสดงจำนวนของนาถุ่งและพื้นที่เพาะเลี้ยงสัตว์น้ำทั้งหมด ที่ได้จากการ หลอมภาพด้วยวิธีการต่าง ๆ ในพื้นที่ศึกษาที่ 1 บริเวณแม่น้ำบางปะกง.....	144
ภาคผนวก ก-3 แสดงเนื้อที่ของนาถุ่งและพื้นที่เพาะเลี้ยงสัตว์น้ำทั้งหมด ที่ได้จากการ หลอมภาพด้วยวิธีการต่าง ๆ ในพื้นที่ศึกษาที่ 1 บริเวณแม่น้ำบางปะกง.....	145
ภาคผนวก ก-4 แสดงจำนวน ปีze และความยาวของปีก ปีze ทั้งหมด ที่ได้จากการ หลอมภาพด้วยวิธีการต่าง ๆ ในพื้นที่ศึกษาที่ 2 บริเวณอ่าวจังหวัดชลบุรี	146
ภาคผนวก ก-5 แสดงจำนวน ปีze ทั้งหมด ที่ได้จากการหลอมภาพด้วยวิธีการต่าง ๆ ในพื้นที่ศึกษาที่ 2 บริเวณอ่าวจังหวัดชลบุรี	147
ภาคผนวก ก-6 แสดงจำนวนของปีก ปีze ทั้งหมด ที่ได้จากการหลอมภาพด้วยวิธีการต่าง ๆ ในพื้นที่ศึกษาที่ 2 บริเวณอ่าวจังหวัดชลบุรี	148
ภาคผนวก ก-7 แสดงปริมาณความยาวของเส้นทางคอมนาคมทั้งหมด ที่ได้จากการ หลอมภาพด้วยวิธีการต่าง ๆ ในพื้นที่ศึกษาที่ 3 บริเวณอ่างเก็บน้ำบางพระ ...	149
ภาคผนวก ก-1 ดาวเทียม Landsat-5	157
ภาคผนวก ก-2 ดาวเทียม Landsat-7	160
ภาคผนวก ก-3 ดาวเทียม IRS-1C	163
ภาคผนวก ก-4 ดาวเทียม Radarsat	165
ภาคผนวก ก-5 ดาวเทียม SPOT-5	168

สารบัญภาพ (ต่อ)

ภาพที่	หน้า
ภาคผนวก ง-1 แสดง Histogram ของข้อมูลความเที่ยมที่ใช้ในการวิจัย ในพื้นที่ศึกษาที่ 1	171
ภาคผนวก ง-2 แสดง Histogram ของข้อมูลความเที่ยมที่ใช้ในการวิจัย ในพื้นที่ศึกษาที่ 2	173
ภาคผนวก ง-3 แสดง Histogram ของข้อมูลความเที่ยมที่ใช้ในการวิจัย ในพื้นที่ศึกษาที่ 3	174